0520



30-20-AD-LE-260.- Las capas rojas de Morella (C_{15}^{1}) entre Bojar y Corachar. Parte baja de la foto se observan las areniscas - calcáreas de los hard-ground al techo del Hauteriviense-Barremiense (C_{13-14}) Centro-superior de la foto transito Capas rojas-Bedouliense calcáreo (C_{14-15}^{0-1}).



30-20-AD-LE-261.- Bedouliense calcáreo (C^{0-1}_{14-15}) al Sur del Coracher. La gran falla que corta la serie coincide con el barranco donde pueden observarse los innumerables repliegues producidos por el arrastre de la fractura.



30-20-AD-LE-262.- En primer término los paquetes superiores del Bedouliense calcáreo (C^{0-1}_{14-15}) con gran abundancia de margas azules al Sur del Corachar. Al fondo las series del Cretácico inferior de Molino de Abajo-Tosal-Gross.



30-20-AD-LE-263.- Continuación de la anterior puede observarse de abajo arriba. Corte del Corachar.

- Margas y margocalizas de los paquetes superiores del C^{0-1}_{14-15}.
- Barra de Morella (Cc^{1}_{15})
- Margas de Plicátulas (Cp^{1}_{15})
- Calizas de Toucasia (C^{2}_{15})



30-20-AD-LE-264.- La cúpula del anticlinal de la Solana (cuyo eje tiene dirección aberrante (NNW-SSE) en Hauteriviense-Barremiense cabalgado por las calizas de Toucasias C_{15}^{2}, de la mesa del Corachar, en primer término.



30-20-AD-LE-265.- El cierre perianticlinal en Jurásico terminal (J_{31-32}) del Canals (centro Sur de la Hoja).



30-20-AD-LE-266.- En primer término la caliza de Toucasia C_{15}^{2} del sinclinal de Michavilla (Norte del Corachar). Por el barranco a la derecha pasa la gran falla que se prolonga hasta las formaciones del horizonte del fondo, donde se aprecia un gran pliegue falla, cabalgante sobre una serie subhorizontal. Este gran pliegue es el descrito como anticlinal del Encanadé cuyo núcleo esta constituido por Jurásico superior-Cretácico inferior.



30-20-AD-LE-267.- Vista panorámica, desde el vértice del Michavila, de un gran sector de la Hoja (parte oriental). En primer término se observan las calizas de Toucasia C_{15}^{2} del sinclinal de Michavila. Igualmente en primer término al fondo del Tajo se observan los repliegues producidos por la falla coincidente con el eje sinclinal. En segundo término y pseudohorizontal una gran serie que comprende el Hauteriviense-Barremiense (C_{13-14}): capas rojas C_{15}^{1} y Bedouliense calco margoso (C_{14-15}^{0-1}).

En la zona izquierda y al fondo los cabalgamientos del sector de Herbes y al centro derecha el gran pliegue falla con núcleo jurásico del Comunet.



30-20-AD-LE-268.- La serie en el Carrascal. Obsérvese el Bedouliense calco-margoso (C^{0-1}_{14-15}). Barra de Morella (Cc^{1}_{15}), margas de Plicátula Cp^{1}_{15}, calizas del Gargasiense C^{2}_{15} de muro a techo.



30-20-AD-LE-269.- Vista parcial del flanco septentrional de la S. de San Cristóbal. A la izquierda se observan las capas rojas a la altura de la Ermita e infrayacente la potente serie Hauteriviense-Barremiense. A la derecha y en segundo término las calizas del Gargasiense C_{15}^{2} cabalgadas por esta serie y cabalgantes sobre el terciario. En tercer horizonte los Jurásicos del anticlinal septentrional del - Torre Miró.



30-20-AD-LE-270.- Una vista de la serie a la altura del Coll de Torre Miró. De derecha a izquierda Hauteriviense-Barremiense (se puede distinguir perfectamente la barra caliza del Barremiense - superior (C_{13-14}). Capas rojas de Morella Cm_{15}^{1} y el Bedouliense - calcáreo y la falla que pone estos sedimentos subverticales, a - la izquierda de la falla Hauteriviense-Berremiense nuevamente.



30-20-AD-LE-271.- A continuación al Oeste de la falla anterior con sus ramificaciones. En primer término las calizas del Hauteriviense-Barremiense que a la derecha se continúan con el anticlinal Jurásico septentrional de Torre Miró. En segundo plano las capas rojas muy escasamente representadas cabalgadas por caliza de Toucasia C_{15}^{2}. Al fondo y a la izquierda las mismas calizas muy tectonizadas - intra cabalgantes y cabalgadas por las series infrayacentes del Cretácico inferior.



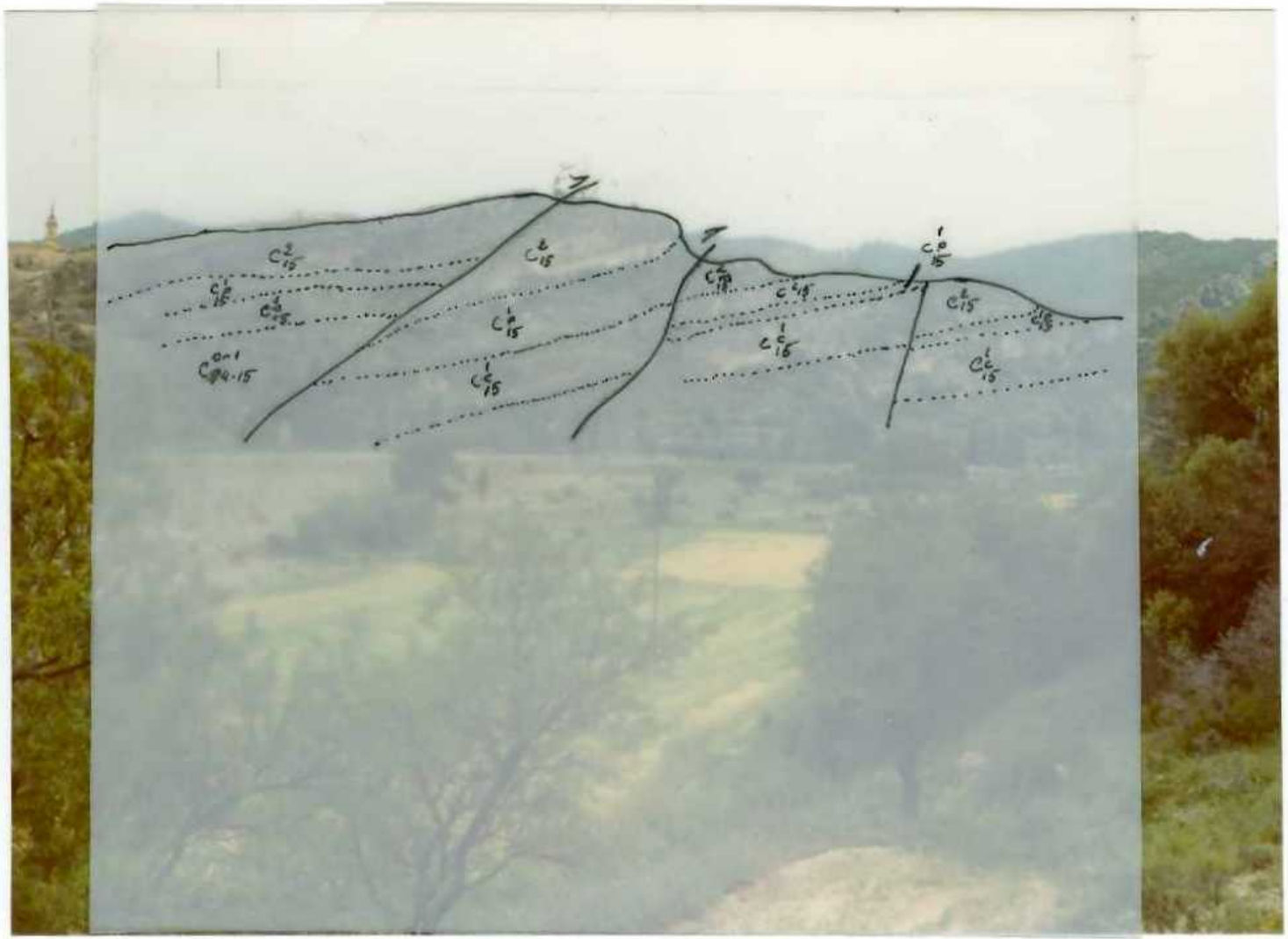
30-20-AD-LE-272.- Espectacular pliegue en cofre de la serie Hauteriviense-Barremiense al Oeste del Coll de Torre Miró. Al fondo derecha los afloramientos anteriores.



30-20-AD-LE-273.- En primer término el Bedouliense C^{0-1}_{14-15} al Sur de la Pobleta del Riu. Al fondo la serie Hauteriviense-Barremiense de Cap de la Vall.



30-20-AD-LE-274.- Inmediatamente al Sur de la Pobleta y como continuación al Norte de la foto anterior se observa en primer plano capas rojas C_{m}^{1} en contacto tectónico con las dolomías de $_{15}$ Portlandiense (Ermita) y las capas de tránsito Jurásico Cretácico (J_{33}-C_{12}) subverticales.



30-20-AD-LE-275.- La serie Gargasiense en Palenques. Puede observarse su intensa tectonización con dos cabalgamientos visibles en esta panorámica. Destacan por su relieve las dos grandes barras calcáreas C_{15}^{1} Barra de Morella y C_{15}^{2} calizas de Toucasias.



30-20-AD-LE-276.- Detalle de la anterior.



30-20-AD-LE-277.- El sinclinal de núcleo Bedouliense inferior (C^{0-1}_{14-15}) al Norte de zorita de Maestrazgo. Puede observarse en su flanco Sur a la derecha las capas rojas C^{1}_{m} y al fondo izquierda la serie Hauteriviense-Barremiense.
15

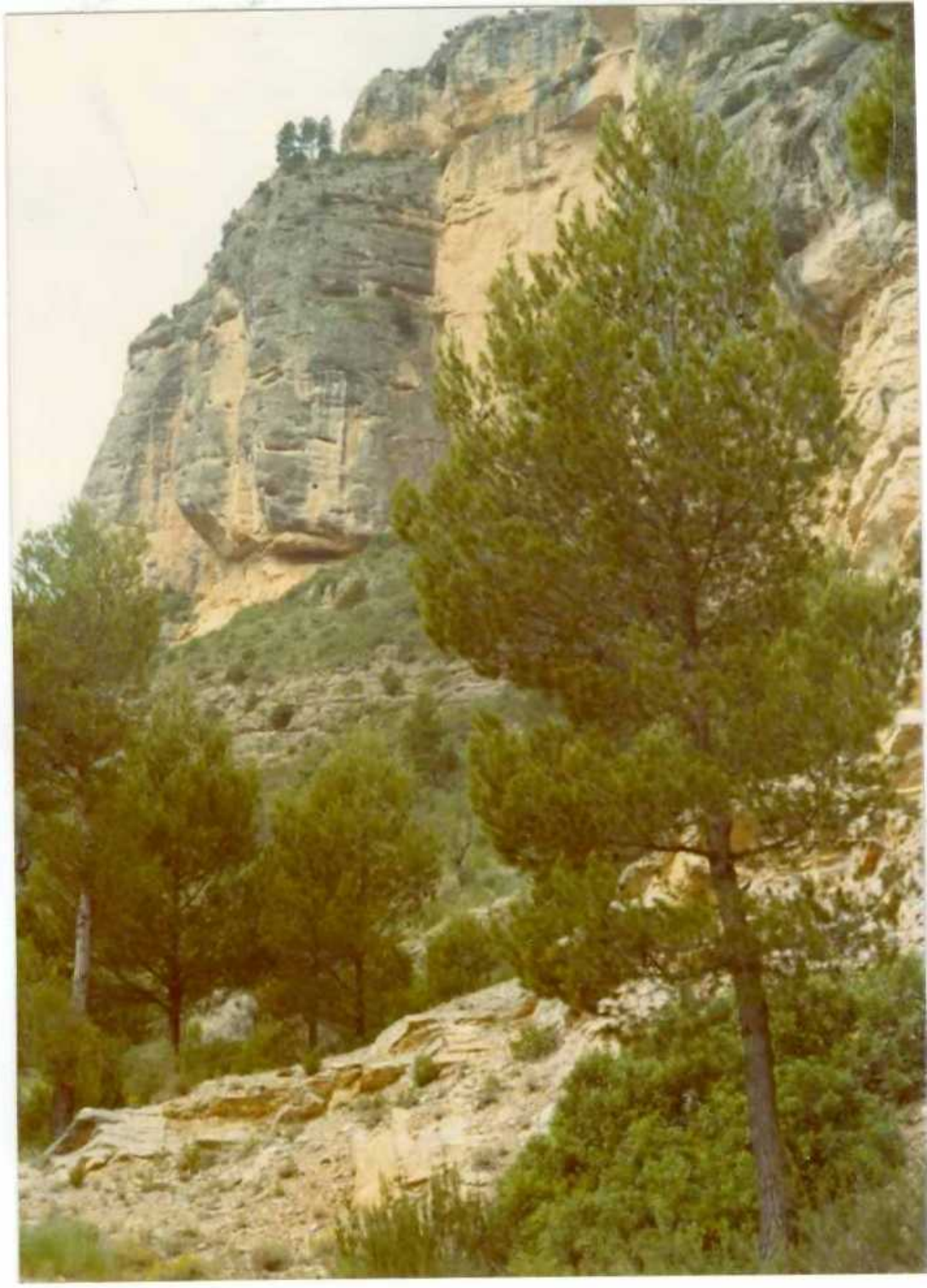


30-20-AD-LE-278.- Anticlinal Jurásico (J_{31-32}) de las Solanas con núcleo fallado y replegado tipo hongo.



30-20-AD-LE-279.- El Hauteriviense-Barremiense replegado de la vertiente septentrional de las Solanes: A la derecha subvertical y fallado en contacto con el Jurásico superior: Al fondo y subhorizontal el Terciario discordante atribuido al Chatiense-Mioceno (Tc^{A-B}_{32-1}).

30-20-AD-LE-280.- La discordancia Hauteriviense - Barremiense-Terciario - (Tc^{A-B}_{33-1}) en la carretera de Zorita del Maestrazgo-Aguaviva un poco al Norte de La Balma.





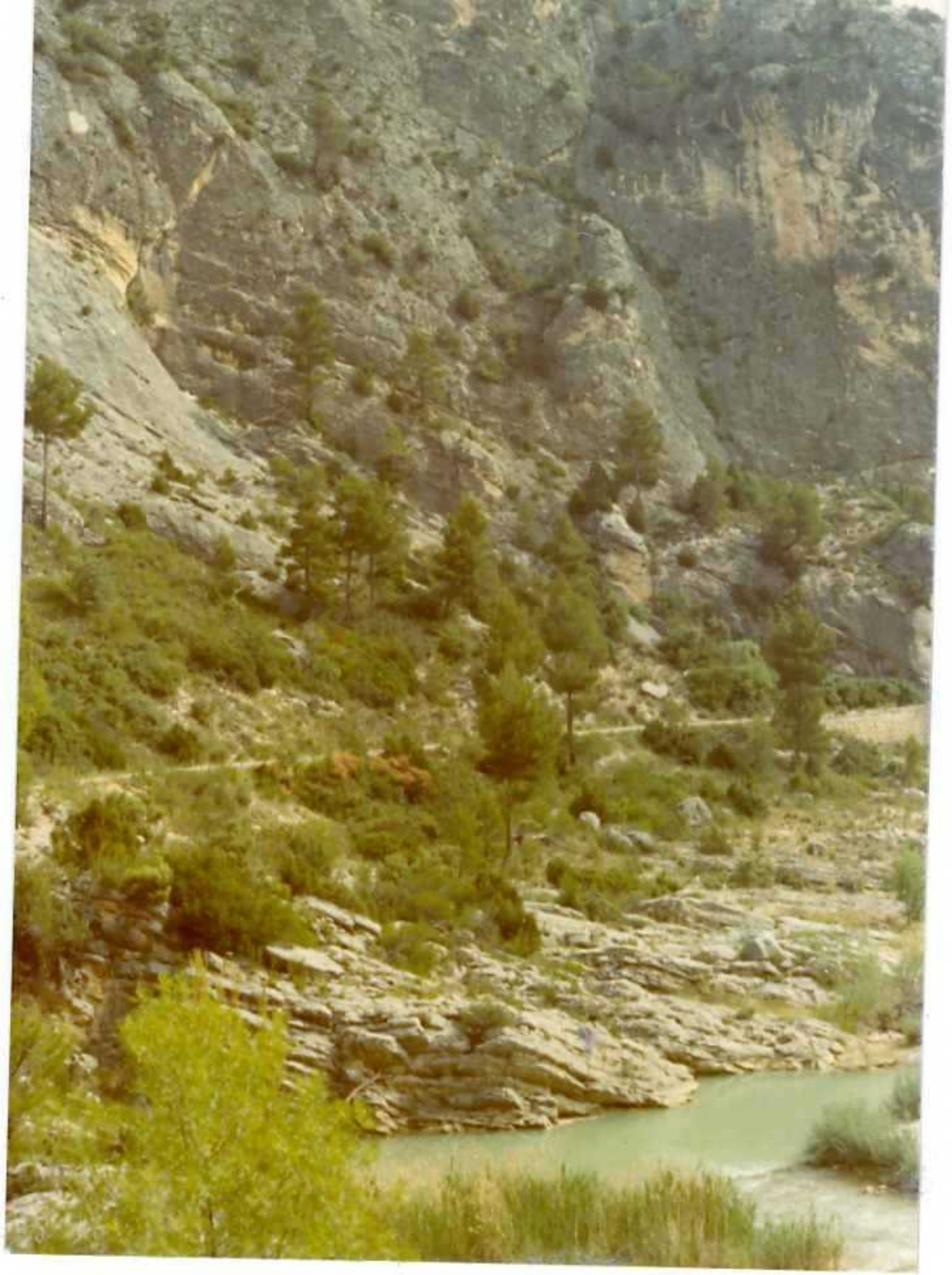
30-20-AD-LE-281.- La serie Hauteriviense-Barremiense (C_{13-14}) Capas rojas (Cm_{15}^{1}) y Bedouliense (C_{13-14}^{0-1}) cabalgante sobre Jurásico y cabalgada a su vez del sector de Mas de Papele.



30-20-AD-LE-282.- Frente replegado del Jurásico de los Cabezos cabalgante sobre el Cretácico inferior de la foto anterior.

30-20-AD-LE-283.- Inyección de una lámina de Keuper en uno de los repliegues del frente de - cabalgamiento.





30-20-AD-LE-284.- Una vista del monoclinal Jurásico de Cabezo Negro-Los Cabezos. Al fondo la pared morfológica del intracabalgamiento con plano buzante al Norte.